

LECȚIA 8: PLĂCI PLANE CIRCULARE – CAZUL AXIAL – SIMETRIC

8.1 Definiții, notații; clasificare.

Placa plană subțire $h \ll \min(a,b)$ - fig. 8.1 încărcarea $p(x,y)$ are direcția z ; h = grosimea (poate fi constantă sau variabilă).

Notații:

- **PL – XYZ:** plăci dreptunghiulare în coordonate carteziene;
- **PL - CIL :** plăci circulare în coordonate cilindrice;
- **PL - PPS :** plăci circulare axial simetrice.

Fețele plăcii sunt : $z = -\frac{h}{2}$ (fața superioară); $z = \frac{h}{2}$ (fața inferioară)

- *Com:* Rezemarea plăcii plane se realizează pe conturul plăcii sau în orice punct al ei (de exemplu : rezemare pe stâlpi).

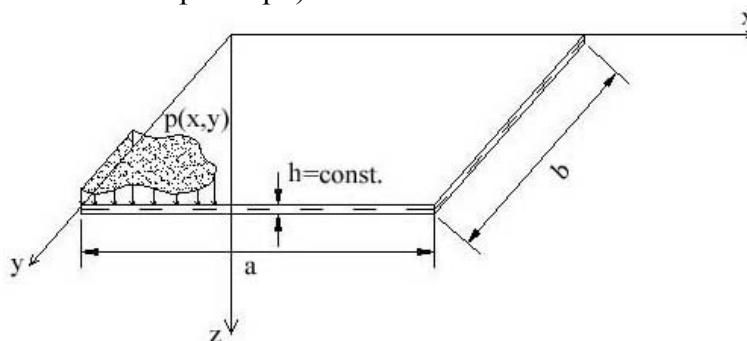


Fig. 8.1(a): Plăci dreptunghiulare în coordonate carteziene: **PL-XYZ**

- *Com:* Placa pe mediu elastic (= semispațiul elastic) este „încărcată” și pe fața $z = +\frac{h}{2}$ (inferioară).

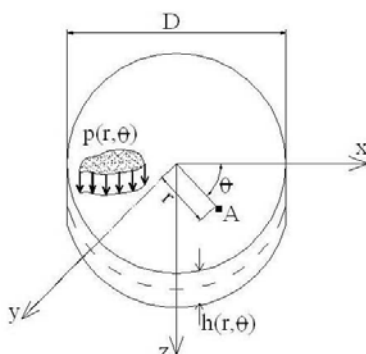


Fig. 8.1(b): Placă circulară în coordonate cilindrice: **PL- CIL**

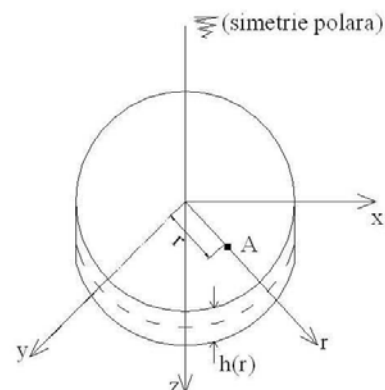


Fig. 8.1(c): Placă circulară în coordonate polare ; cazul axial – simetric **PL-PPS**

- *Com:* În lecția de față ne ocupăm numai de plăcile **PL- PPS**, pentru care modelul **TLE-PPS** este prezentat în Lecția 7.

Rezumat PPS

$$(S1)_{PPS} \quad \frac{\partial \sigma_r}{\partial r} + \frac{\sigma_r - \sigma_\theta}{r} = 0 \text{ în } V$$

$$(G1)_{PPS} \quad \begin{cases} \varepsilon_r = \frac{du_r}{dr} \\ \varepsilon_\theta = \frac{u_r}{r} \\ \gamma_{r\theta} = 0 \end{cases}$$

$$\text{AIRY}|_{PPS} : \nabla^2 F(r) = 0 \text{ sau, dezvoltat, } \frac{\partial^4 F}{\partial r^4} + \frac{2}{r} \frac{\partial^3 F}{\partial r^3} - \frac{1}{r^2} \frac{\partial^2 F}{\partial r^2} + \frac{1}{r^3} \frac{\partial F}{\partial r} = 0$$

- *Com:* Ecuația plăcilor din fig.8.1 (a,b,c) se va putea scrie în mod unic astfel:

Ecuația fundamentală a plăcilor plane : SOPHIE GERMAIN-LAGRANGE (~ 1780)

$$\left. \begin{array}{l} PL - XYZ : \nabla^4 w(x, y, z) = \frac{p(x, y)}{D} \\ PL - CIL : \nabla^4 w(r, \theta) = \frac{p(r, \theta)}{D} \\ PL - PPS : \nabla^4 w(r) = \frac{p(r)}{D} \end{array} \right\} \rightarrow \nabla^4 w(\dots) = \frac{p(\dots)}{D}$$

unde s-a notat : $D = \frac{Eh^3}{12(1-\nu^2)}$ se numește rigiditatea cilindrică a plăcii :

E = modulul Young

h = grosimea plăcii

ν = coeficientul Poisson

- **Ex. 8.1** Definiți plăcile plane în mod unic (o descriere conform fig.8.1 (a,b,c,) și prezentați ecuația diferențială asociată:

8.2 Plăcile PL-PPS; Studiul (G) (fig 8.2)

- **Com:** În planul plăcii avem o singură variabilă de lucru notată cu „ r ” și pe direcția ei putem lua axa „ x ”, A este punct oarecare în planul medial al plăcii ($z = 0$) (fig. 8.2)

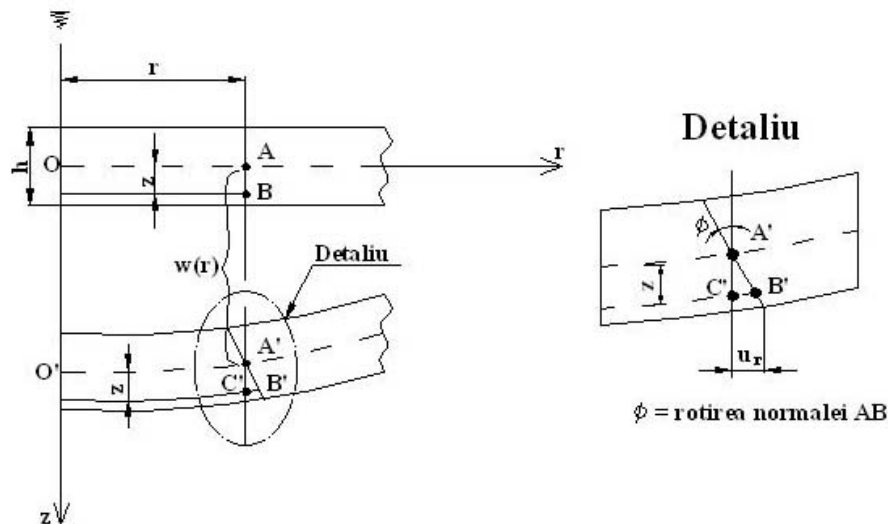


Fig.8.2: Plăci plane PL- PPS ; Studiul (G)

Notății de lucru pentru studiul (G):

OA– planul median nedeformat

$O'A'$ – planul median deformat (notă: în RM: fibră medie deformată)

La cota „ z ” vorbim de **planul de la cota „ z ”**; sau mai sunt: planul „ z ” (= planul de la cota $z = z_B$)

Notăție pentru detaliu din fig. 8.2 : $\sphericalangle C'A'B' = \phi$ - rotirea normalei AB față de axa z ;

$C'B' = u_r$ deplasarea pe direcția „ r ” la cota „ z ”

Din examinarea fig. 8.2 (detaliu) rezultă:

$$(1) \begin{cases} u_r = C'B' = z \operatorname{tg} \phi \cong z \sin \phi \cong z \phi & \text{(calcul de ordin I)} \\ u_\theta = 0 & \text{(numai în modelul PL-PPS)} \end{cases}$$

Ipoteza (I) în teoria plăcilor plane

Ne situăm în calculul de ordinul I $\operatorname{tg} \phi \cong \sin \phi \cong \phi$ (relații valabile în calculul de ordinul I, rotiri mici)

Deformații specifice:

$$(2) \begin{cases} \varepsilon_r = \frac{du_r}{dr} \stackrel{rel(1)}{=} z \frac{d\phi}{dr} \\ \varepsilon_\phi = \frac{u_r}{r} = z \frac{\phi}{r} \\ \gamma_{r\theta} = 0 & \text{numai în modelul PL - PPS} \end{cases}$$

8.3 Studiul (F)

Ipoteza II : În studiul (F) folosim modelul $TLE_{PP\sigma}$

Relația $\underline{\sigma}_{PP\sigma} = \underline{E}\underline{\varepsilon}_{PP\sigma}$ conduce la expresiile:

$$(3) \left\{ \begin{array}{l} \sigma_r = \frac{E}{1-\nu^2} (\varepsilon_r + \nu\varepsilon_\theta) \\ \sigma_\theta = \frac{E}{1-\nu^2} (\varepsilon_\theta + \nu\varepsilon_r) \\ \tau_{r\theta} = 0 \\ \tau_{rz} = ?(\text{neprecizat!}) \end{array} \right.$$

- **Com:** Pentru plăci groase se va folosi PP_ε ; deci: $\underline{\sigma}_{PP\varepsilon} = \underline{E}_{PP\varepsilon}\underline{\varepsilon}_{PP\varepsilon}$ [scrieți expresiile analoge (3) pentru plăci groase ! expresiile (3')].
- **Ex: 8.2:** Enunțați și comentați ipotezele teoriei plăcilor plane (Teoria Sophie Germain-Lagrange) [Indicație, revedeți relațiile: (1), (2), (3), (3')]

Studiul (G+ F)

$$(4) \left\{ \begin{array}{l} \sigma_r = \frac{Ez}{1-\nu^2} \left(\frac{d\phi}{dr} + \nu \frac{\phi}{r} \right) \\ \sigma_\theta = \frac{Ez}{1-\nu^2} \left(\frac{\phi}{r} + \nu \frac{d\phi}{dr} \right) \end{array} \right.$$

8.4 Studiul (S) . Se compune din 2 părți (substudii) Sa și Sb

(Sa) : Stabilim relațiile de echivalență pe grosimea plăcii –fig.8.3

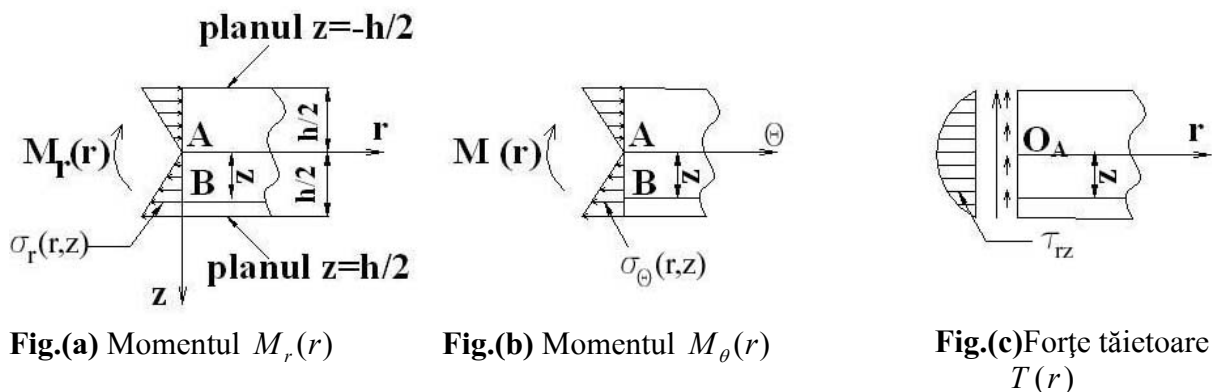


Fig.8.3: Pentru studiul Sa: momentul $M_r(r)$, momentul $M_\theta(r)$ și forța tăietoare $T(r)$

Ipoteza III: acceptăm calculul de ordinul I ; lucrăm pe configurația nedeformată.
Eforturile plăcii se definesc pe unitatea de lungime (r sau θ) și pe grosimea plăcii, astfel:

$$(5) \text{ (Sa)} \left\{ \begin{aligned} M_r &= \int_{-\frac{h}{2}}^{\frac{h}{2}} \sigma_r z dz \\ M_\theta &= \int_{-\frac{h}{2}}^{\frac{h}{2}} \sigma_\theta z dz \\ T &= \int_{-\frac{h}{2}}^{\frac{h}{2}} \tau_{rz} dz \end{aligned} \right.$$

➤ *Com* : Contradicție:!

Ipoteza IV: pentru τ_{rz} (mărime neprecizată încă –vezi relația 3): se acceptă rezultatul din RM, folosind o relație (sau o variație) parabolică pe înălțimea „h” (Jurawski); rezultatul este prezentat în fig. 8.3c.

Studiul (Sb) – relațiile diferențiale de echilibru ale elementului de placă - fig.8.4

➤ **Ex. 8.3** Să se reprezinte echilibrul diferențial al unui element de placă circulară **PL-PPS**

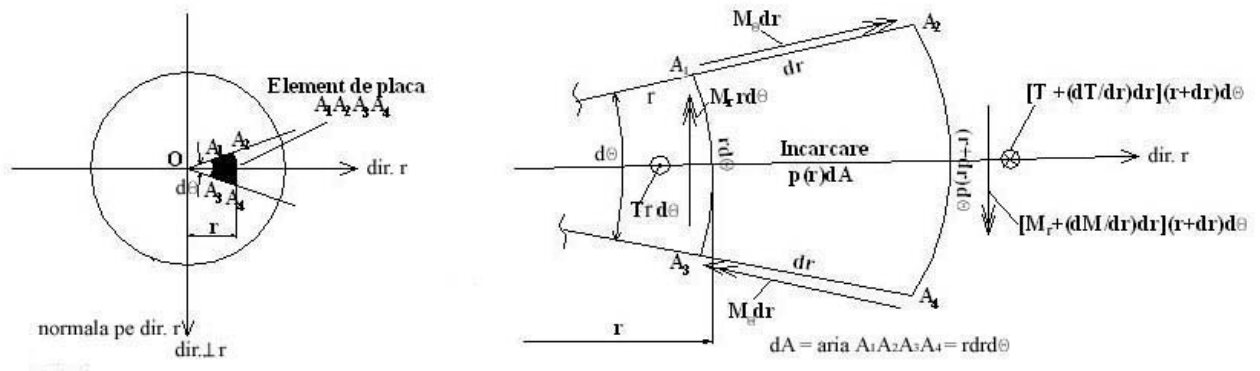


Fig.8.4(a): Element de placă văzut de sus

Fig.8.4(b): Echilibrul elementului de placă

Fig. 8.4: Studiul Sb: Echilibrul diferențial al elementului de placă **PL-PPS**

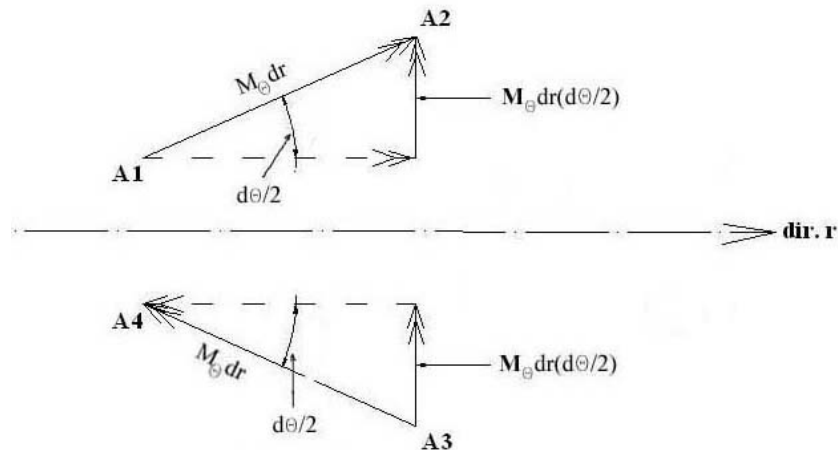
Indicație: Se pot scrie două ecuații (vectoriale) de echilibru; $\sum Z = 0$ și $\sum M_{\perp r} = 0$ (se va observa că ecuația de proiecție pe direcția r este identic satisfăcută!).
Încărcarea $p(r)dA = p(r) r dr d\theta$ are direcția z

➤ **Ex.8.4** Să se obțină ecuațiile diferențiale de echilibru ale studiului **Sb**

$$\begin{aligned} \sum Z = 0 &\rightarrow p(r)rdrd\theta - Trd\theta + \left(T + \frac{dT}{dr} dr \right) (r + dr)d\theta = 0 \\ \Rightarrow T + r \frac{dT}{dr} &= -pr \end{aligned}$$

$$+\downarrow \sum M_{\perp r} = 0 \rightarrow \frac{d}{dr}(rM_r) - M_\theta = Tr$$

Rezultă: **(Sb)** (6)
$$\begin{cases} T + r \frac{dT}{dr} = -pr & \text{sau} & \frac{d}{dr}(rT) = -pr \\ \frac{d}{dr}(rM_r) - M_\theta = Tr \end{cases}$$



pentru proiecția \perp_r :
$$\frac{M_\theta}{2} dr \cdot d\theta + \frac{M_\theta}{2} dr \cdot d\theta = M_\theta dr \cdot d\theta$$

Fig. 8.5 : Detaliu de lucru pentru ecuația de momente $\sum M_{\perp r} = 0$

➤ *Com:* M_r și M_θ se măsoară pe unitatea de lungime având unitățile de măsură : $\langle M_r \rangle$ în daN (unități de forță) ; $\langle T \rangle$ în $\frac{daN}{cm}$ [unități de forță (lungime)], fiindcă:

$$\begin{cases} M_r = \frac{daNcm}{cm} \\ T = \frac{daN}{cm} \end{cases}$$

Dezvoltăm relațiile **(Sa)** astfel:

$$(7) \quad \begin{cases} M_r(r) = \int_{\frac{h}{2}}^{\frac{h}{2}} \sigma_r z dz = \int_{\frac{h}{2}}^{\frac{h}{2}} \frac{Ez}{1-\nu^2} (\epsilon_r + \nu \epsilon_\phi) dz = \frac{E}{1-\nu^2} \int_{\frac{h}{2}}^{\frac{h}{2}} z^2 dz \left(\frac{d\phi}{dr} + \nu \frac{\phi}{r} \right) = \\ = \frac{Eh^3}{12(1-\nu^2)} \left(\frac{d\phi}{dr} + \nu \frac{\phi}{r} \right) = D \left(\frac{d\phi}{dr} + \nu \frac{\phi}{r} \right) \\ M_\phi(r) = \dots = D \left(\frac{\phi}{r} + \nu \frac{d\phi}{dr} \right) \end{cases}$$

T – se obține direct din studiul **(Sb)** $\frac{d}{dr}(rT) = -pr = T$; Rezultatul final:

$$(S)_{\text{PL-PPS}}: \begin{cases} M_r(r) = D \left(\frac{d\phi}{dr} + \nu \frac{\phi}{r} \right) \\ M_\phi(r) = D \left(\frac{\phi}{r} + \nu \frac{d\phi}{dr} \right) \\ \frac{d}{dr}(rT) = -pr \end{cases}$$

8.5 Sinteza S+G+F : ecuația diferențială a modelului PL-PPS

- **Ex. 8.5.** Introduceți expresiile (7) pentru M_r, M_ϕ, T în ecuațiile diferențiale de echilibru (6). Să se obțină *ecuații diferențiale de ordinul III în rotirile normalei* ϕ

$$(8) \quad \frac{d^2\phi}{dr^2} + \frac{1}{r} \frac{d\phi}{dr} - \frac{1}{r^2} \phi = \frac{T(r)}{D}$$

- **Ex. 8.6.** Observând identitatea $\left[(\phi r)' + \frac{1}{r} \right]' = \frac{d^2\phi}{dr^2} + \frac{1}{r} \frac{d\phi}{dr} - \frac{1}{r^2} \phi$ să se scrie ecuația de ordinul II în ϕ astfel:

$$(9) \quad \frac{d}{dr} \left[\frac{1}{r} \frac{d}{dr} (\phi r) \right] = \frac{T}{D} \quad - \text{ecuația diferențială de ordinul II în } \phi \text{ (forma'' compactă'').$$

- **Ex. 8.7** Să se efectueze, prin integrări successive, calculul expresiei $\phi(r)$ sub forma:

$$(10) \quad \phi(r) = \frac{1}{Dr} \int r \left(\int T dr \right) dr + C_1 r + \frac{C_2}{r} \quad \text{unde } C_1, C_2 \text{ sunt constante de integrare care se obțin impunând condițiile limită (de rezemare) ale plăcii, modelul PL-PPS}$$

- **Ex. 8.8** Introducând expresia obținută (9) în ecuația de echilibru (6) $\frac{d}{dr}(rT) = -pr$ să se obțină *ecuația diferențială de ordinul III în* ϕ :

$$(11) \quad \frac{d^3\phi}{dr^3} + \frac{2}{r} \frac{d^2\phi}{dr^2} - \frac{1}{r^2} \frac{d\phi}{dr} + \frac{\phi}{r^3} = -\frac{p(r)}{D}$$

- **Ex. 8.9** Inlocuind $\phi(r)$ cu expresia $\phi(r) = -\frac{dw(r)}{dr}$ unde $w(r) = AA'$ (fig. 8.2) (deplasarea transversală a plăcii pe direcția z), să se rescrie expresia (10) sub forma:

$$(12) \quad \begin{cases} \nabla^4 w(r) = \frac{p(r)}{D} \quad \text{unde:} \\ \nabla^4 w(r) = \frac{d^4 w}{dr^4} + \frac{2}{r} \frac{d^3 w}{dr^3} - \frac{1}{r^2} \frac{d^2 w}{dr^2} + \frac{1}{r^3} \frac{dw}{dr} \end{cases}$$

Rezultatul (12) reprezintă ecuația diferențială a plăcilor plane în deplasări $w(r)$ -modelul PL-PPS.

8.6 Aplicații (seminar)

➤ Ex. 8.10 Diagramele T , M_r , M_θ

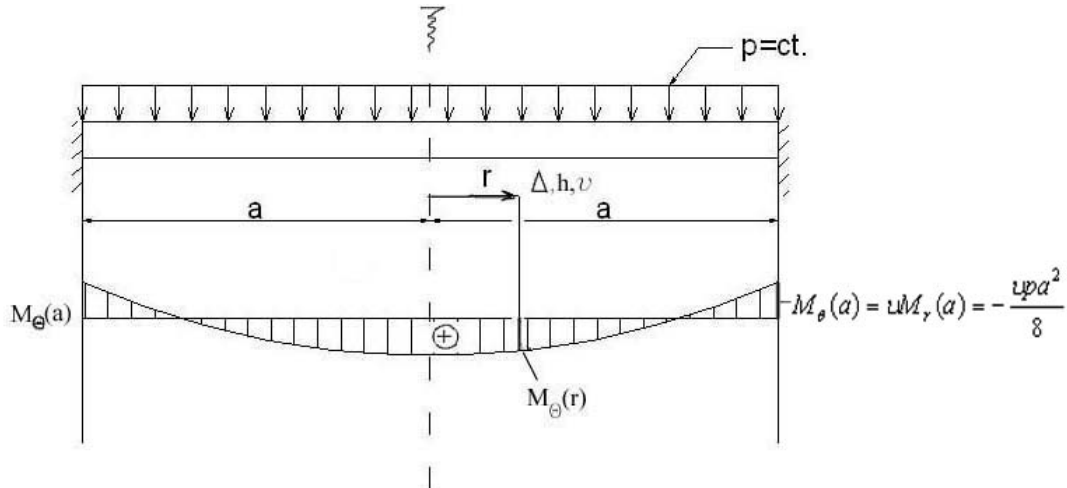


Fig.8.6

Răspuns: $M_\theta(0) = M_r(0) = \frac{1+\nu}{16} pa^2$

$$M_\theta(a) = \nu M_r(a) = -\nu \frac{pa^2}{8}$$

➤ Ex. 8.11

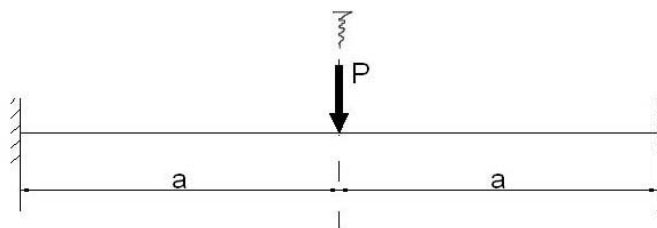


Fig. 8.7

Răspuns:

$$\phi(r) = \frac{P}{4\pi D} r \ln \frac{r}{a}$$

$$M_\theta(r=a) = \nu \frac{P}{4\pi}$$

➤ Com: $\langle M_r, M_\theta \rangle = \frac{FL}{L} = F$ (unități de forță)

➤ Ex : 8.12

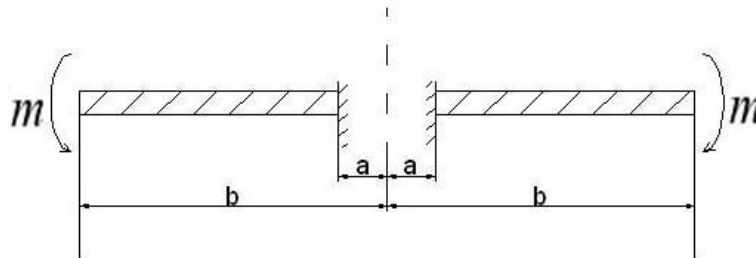


Fig. 8.8

Răspuns:

$$M_\theta(r=b) = m \beta \left[(1+\nu) \frac{b^2}{a^2} - (1-\nu) \right] \quad \text{unde} \quad \beta = \frac{1}{(1+\nu) \frac{b^2}{a^2} + (1-\nu)}$$